

**Raport stiintific privind implementarea proiectului PN-II-ID-PCE-2011-3-0862, contract nr. 264/2011**  
**perioada ianuarie – decembrie 2012**

In acord cu propunerea de proiect, in **etapa I/2012** a proiectului au fost atinse urmatoarele obiective:

**O1/ Parametrii critici care determină proprietatile nanoparticulelor (NP) metalice disperse pe suporturi mezoporoase SBA-15 prin metoda MDI (Mild Drying Impregnation)**

In prima faza a proiectului au fost preparate probe de suporturi mezoporoase de tip silice SBA-15 avand diferite proprietati texturale (in particular diametrul mezoporilor primari si volumul microporilor)<sup>1</sup> precum si suporturi mezoporoase de tip aluminosilice Al-SBA-15 avand diferite compozitii chimice.<sup>2</sup> In a doua faza, suporturile calcinate si stocate in absenta umiditatii au fost impregnate cu solutii apoase ale azotatilor metalici corespunzatori (prin metoda Incipient Wetness Impregnation - IWI), etapa urmata de uscare in diverse conditii si in final calcinare sub aer stagnant in conditii libere de efectul de container<sup>3</sup> (specificatii in Tabelul 1). Optional, unele probe au fost reduse direct dupa uscare in flux de hidrogen.

**Tabel 1** Centralizator al probelor de precursori catalitici (MO/SBA-15) preparate prin metoda MDI

Nr	Proba	Cod proba	Tip proba	Conditii de sinteza/Tratamente termice
1	SBA-15	SBA-15[60]	Supor catalitic	Tratament hidrotermal 60 °C, 48 h, calcinare 550 °C, exicator CaCl <sub>2</sub>
2	NiO/SBA-15	5NiO/SBA-15[60]/ 25-5	Precursor catalitic	5wt.%, uscare 25 °C, 5 zile, calcinare 500 °C
3	CuO/SBA-15	5CuO/SBA-15[60]/ 25-5		
4	Co <sub>3</sub> O <sub>4</sub> /SBA-15	5Co <sub>3</sub> O <sub>4</sub> /SBA-15[60]/ 25-5		
5	SBA-15	SBA-15[80]	Supor catalitic	Tratament hidrotermal la 80 °C, 48 h, calcinare 550 °C, exicator CaCl <sub>2</sub>
6	NiO/SBA-15	5NiO/SBA-15[80]/ 25-5	Precursor catalitic	5wt.%, uscare 25 °C, 5 zile, calcinare 500 °C
7	CuO/SBA-15	5CuO/SBA-15[80]/ 25-5		
8	Co <sub>3</sub> O <sub>4</sub> /SBA-15	5Co <sub>3</sub> O <sub>4</sub> /SBA-15[80]/ 25-5		
9	SBA-15	SBA-15[100]	Supor catalitic	Tratament hidrotermal 100 °C, 48 h, calcinare 550 °C, exicator CaCl <sub>2</sub>
10		5NiO/SBA-15[100]/ 25-2		5wt.%, uscare 25 °C, 2 zile, calcinare 500 °C
11		5NiO/SBA-15[100]/ 25-5		5wt.%, uscare 25 °C, 5 zile, calcinare 500 °C
12		5NiO/SBA-15[100]/ 25-15		5wt.%, uscare 25 °C, 15 zile, calcinare 500 °C
13		5NiO/SBA-15[100]/ 25-30		5wt.%, uscare 25 °C, 30 zile, calcinare 500 °C
14		5NiO/SBA-15[100]/ 25-60		5wt.%, uscare 25 °C, 60 zile, calcinare 500 °C
15		5NiO/SBA-15[100]/ 25-150		5wt.%, uscare 25 °C, 150 zile, calcinare 500 °C
16	NiO/SBA-15	5NiO/SBA-15[100]/ 50-5	Precursor catalitic	5wt.%, uscare 50 °C, 5 zile, calcinare 500 °C
17		5NiO/SBA-15[100]/ 100-5		5wt.%, uscare 100 °C, 5 zile, calcinare 500 °C
18		10NiO/SBA-15[100]/ 25-2		10wt.%, uscare 25 °C, 2 zile, calcinare 500 °C
19		10NiO/SBA-15[100]/ 25-5		10wt.%, uscare 25 °C, 5 zile, calcinare 500 °C
20		10NiO/SBA-15[100]/ 25-15		10wt.%, uscare 25 °C, 15 zile, calcinare 500 °C
21		10NiO/SBA-15[100]/ 25-30		10wt.%, uscare 25 °C, 30 zile, calcinare 500 °C
22		10NiO/SBA-15[100]/ 25-60		10wt.%, uscare 25 °C, 60 zile, calcinare 500 °C
23		10NiO/SBA-15[100]/ 25-150		10wt.%, uscare 25 °C, 150 zile, calcinare 500 °C
24		5CuO/SBA-15[100]/ 25-5		5wt.%, uscare 25 °C, 5 zile, calcinare 500 °C
25		10CuO/SBA-15[100]/ 25-2		10wt.%, uscare 25 °C, 2 zile, calcinare 500 °C
26		10CuO/SBA-15[100]/ 25-5		10wt.%, uscare 25 °C, 5 zile, calcinare 500 °C
27	CuO/SBA-15	10CuO/SBA-15[100]/ 25-15	Precursor catalitic	10wt.%, uscare 25 °C, 15 zile, calcinare 500 °C
28		10CuO/SBA-15[100]/ 25-30		10wt.%, uscare 25 °C, 30 zile, calcinare 500 °C
29		10CuO/SBA-15[100]/ 25-60		10wt.%, uscare 25 °C, 60 zile, calcinare 500 °C
30		10CuO/SBA-15[100]/ 25-150		10wt.%, uscare 25 °C, 150 zile, calcinare 500 °C
31		5CuO/SBA-15[100]/ 50-5		5wt.%, uscare 50 °C, 5 zile, calcinare 500 °C
32		5CuO/SBA-15[100]/ 100-5		5wt.%, uscare 100 °C, 5 zile, calcinare 500 °C
33		5Co <sub>3</sub> O <sub>4</sub> /SBA-15[100]/ 25-5		5wt.%, uscare 25 °C, 5 zile, calcinare 500 °C
34	Co <sub>3</sub> O <sub>4</sub> /SBA-15	5Co <sub>3</sub> O <sub>4</sub> /SBA-15[100]/ 50-5	Precursor catalitic	5wt.%, uscare 50 °C, 5 zile, calcinare 500 °C
35		5Co <sub>3</sub> O <sub>4</sub> /SBA-15[100]/ 100-5		5wt.%, uscare 100 °C, 5 zile, calcinare 500 °C
36		10Co <sub>3</sub> O <sub>4</sub> /SBA-15[100]/ 25-5		10wt.%, uscare 25 °C, 5 zile, calcinare 500 °C
37	SBA-15	SBA-15[120]	Supor catalitic	Tratament hidrotermal la 120 °C, 48 h, calcinare 550 °C, exicator CaCl <sub>2</sub>
38	NiO/SBA-15	5NiO/SBA-15[120]/ 25-5	Precursor catalitic	5wt.%, uscare 25 °C, 5 zile, calcinare 500 °C
39	CuO/SBA-15	5CuO/SBA-15[120]/ 25-5		
40	Co <sub>3</sub> O <sub>4</sub> /SBA-15	5Co <sub>3</sub> O <sub>4</sub> /SBA-15[120]/ 25-5		
41	SBA-15	SBA-15[140]	Supor catalitic	Tratament hidrotermal la 140 °C, 48 h, calcinare 550 °C, exicator CaCl <sub>2</sub>
42	NiO/SBA-15	5NiO/SBA-15[140]/ 25-5	Precursor catalitic	5wt.%, uscare 25 °C, 5 zile, calcinare 500 °C
43	CuO/SBA-15	5CuO/SBA-15[140]/ 25-5		
44	Co <sub>3</sub> O <sub>4</sub> /SBA-15	5Co <sub>3</sub> O <sub>4</sub> /SBA-15[140]/ 25-5		
45		AS100		Metoda ajustarii pH-ului, Si/Al =100
46		AS50		Metoda ajustarii pH-ului, Si/Al =50
47	Al-SBA-15	AS20	Supor catalitic	Metoda ajustarii pH-ului, Si/Al =20
48		AS10		Metoda ajustarii pH-ului, Si/Al =10
49		AS5		Metoda ajustarii pH-ului, Si/Al =5
50	NiO/Al-SBA-15	5NiO/AS50	Precursor catalitic	5wt.%, uscare 25 °C, 5 zile, calcinare 500 °C
51	CuO/Al-SBA-15	5CuO/AS50		
52	Co <sub>3</sub> O <sub>4</sub> /Al-SBA-15	5Co <sub>3</sub> O <sub>4</sub> /AS50		
53	NiO/Al-SBA-15	5NiO/ASS5		
54	CuO/Al-SBA-15	5CuO/ASS5		
55	Co <sub>3</sub> O <sub>4</sub> /Al-SBA-15	5Co <sub>3</sub> O <sub>4</sub> /AS55		

In vederea optimizarii metodei MDI, au fost investigati urmatorii parametri: (i) textura suportului SBA-15, (ii) timpul de uscare, (iii) conditii de pretratament dupa uscare, (iv) temperatura de uscare, (v) gradul de incarcare cu metale si (vi) compozitia chimica a suportului SBA-15.

### O3/ Caracterizarea fizico-chimica a catalizatorilor monometalici de tip M/SBA-15 (M=Ni, Cu, Co)

Dupa calcinare, formele oxidice ale catalizatorilor metalici obtinuti prin MDI (MO/SBA-15) au fost sistematic analizate prin diverse tehnici precum ICP-OES, DRX la unghiuri mari si mici, fizisorbitia azotului la -196 °C, TEM, DRX *in situ* la unghiuri mari si TPR pentru a studia efectul parametrilor de sinteza asupra proprietatilor NP (oxidice)metalice pe suport de SBA-15: compozitie chimica, proprietati morfo-structurale si texturale, reductibilitatea precursorilor metalici, interactii metal-suport precum si termostabilitatea nanoparticulelor in atmosfera oxidanta si reducatoare (detalii experimentale in Ungureanu *et al.*<sup>4</sup>). Formele metalice au fost in general analizate prin DRX *in situ* la unghiuri mari si se eliminara prin TEM si XPS *in situ*.

#### Selectie a celor mai semnificative rezultate

(i) Conform literaturii,<sup>4,5</sup> diametrul porilor suportului ( $D_{pori}$ ) poate influenta dimensiunea medie a cristalitelor oxizilor metalici (MO) ( $d_{MO}$ ) prin confinarea geometrica a acestora in mezoporii primari (*efect de confinare*). In acest sens, a fost preparata o serie de suporturi SBA-15 avand  $D_{pori}$  calibrate in domeniul 7-10.9 nm si diferite fractii de micropori (Tabel 2). S-a observat ca evolutia  $d_{MO}$  (calculate cu ecuatie Scherrer

Tabel 2 Proprietatile texturale ale suporturilor mezoporoase SBA-15 determinate prin fizisorbitia azotului la -196 °C

Proba	$S_{BET}$ , $m^2/g$	$S_{micropori}$ , $m^2/g$	$V_{pori}$ , $cm^3/g$	$V_{micropori}$ , $cm^3/g$	$D_{pori}$ , nm (NL-DFT)
SBA-15[60]	820	290	0.94	0.130	7.0
SBA-15[80]	714	208	0.962	0.096	8.0
SBA-15[100]	732	200	1.121	0.090	8.4
SBA-15[120]	548	92	1.059	0.039	9.0
SBA-15[140]	411	83	1.163	0.034	10.9

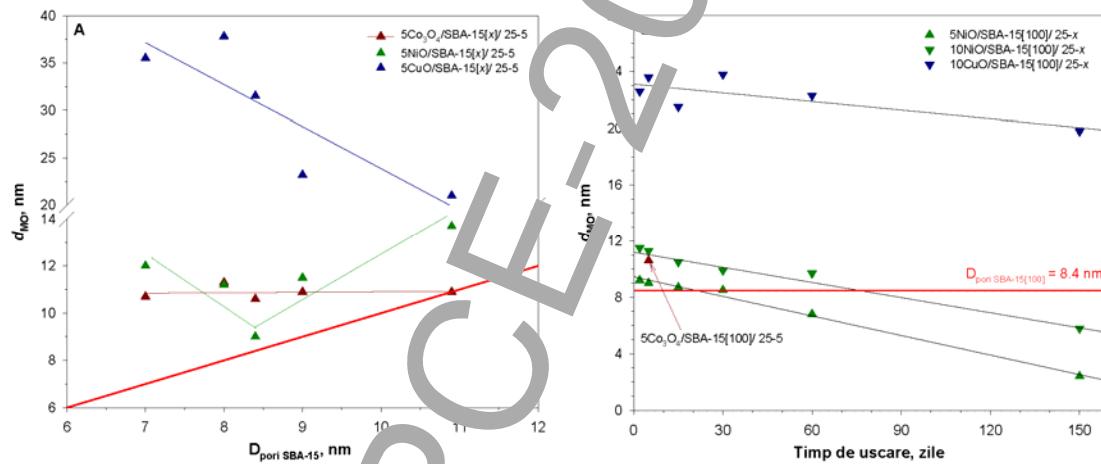


Fig. 1 Evolutia dimensiunii medii a cristalitelor de M<sup>+</sup> in functie de (A) diametrul mezoporilor suportului SBA-15 si (B) timpul de uscare

din difractogramele la unghiuri mari) in functie de  $D_{pori}$  depinde in mare masura de natura MO depus (Fig. 1A): (i) NiO/SBA-15:  $d_{NiO} \sim D_{pori}$  ( $0.0$  vs  $8.4$  nm) doar in cazul SBA-15[100] sugerand ca acest suport este favorabil cristalizarii confinante a NP de NiO in mezoporii primari; (ii)  $Co_3O_4/SBA-15$ :  $d_{Co_3O_4}$  (10.6-11.3 nm) nu depinde de  $D_{pori}$ . Pentru  $D_{pori} > 8$  nm, valorile  $d_{Co_3O_4}$  se apropie de dimensiunile mezoporilor, sugerand de asemenea cristalizarea confinata a NP de  $Co_3O_4$  in mezoporii primari ai suporturilor cu pori mai largi; (iii) CuO/SBA-15:  $d_{CuO}$  scade cu creșterea  $D_{pori}$ . Dimensiunile cristalitelor (21-31.5 nm) sunt mult mai mari decat dimensiunile mezoporilor sugerand transportul precursorilor metalici din mezopori la suprafata externa a granulelor de suport si formarea de aglomerate oxidice voluminoase. In linie cu aceste rezultate, in studiile ulterioare s-a utilizat doar suportul SBA-15[100] care probabil prezinta o micro-/mezostructura optima pentru dispersarea NP in mezopori sub forma de particule oxidice confinante si stabilizate atat in mezoporii primari cat si in microporii/mezoporii secundari (acestia formeaza un sistem secundar de pori cu diametre variabile intre 1.5 nm (supermicropori) si 4 nm (mezopori ingusti) care interconecteaza mezoporii primari).<sup>1</sup>

(ii) Din Fig. 1B se poate observa ca timpul de uscare influenteaza dramatic dispersia nanoparticulelor de NiO depuse pe SBA-15[100] prin metoda MDI (uscare la 25 °C) indiferent de gradul de incarcare cu metal (studiu (v): 5 si 10 wt.%) in timp ce influenta asupra dispersiei CuO este neglijabila. Remarcabil, in cazul probelor 5NiO/SBA-15[100]/25-x,  $d_{NiO}$  scade de la ~8.5-9.2 nm (timpi de uscare 2-30 zile; NP disperse si confinante in mezopori) la 2.4 nm (temp de uscare 150 zile; NP inalt disperse). In cazul probelor cu continut

mai ridicat de Ni, a fost necesar un timp de uscare mai lung pentru a realiza stare de dispersie ridicata (150 zile;  $d_{NiO} = 5.8$  nm). Aceste rezultate se pot explica prin faptul ca timpii ridicati de uscare favorizeaza hidroliza avansata a  $Ni(NO_3)_2 \cdot 6H_2O$  la  $Ni(NO_3)_2 \cdot 2Ni(OH)_2$  (faze cu mobilitate scăzuta) si formarea filosilikatilor de Ni 1:1 (1:1 Ni PS).<sup>4-6</sup> In Fig. 2 se prezinta difractograme DRX *in situ* pentru probele uscate la 25°C si calcinate la diverse temperaturi: (i) se evidentaiza forma de nanocristalelor de NiO prin descompunerea  $Ni(NO_3)_2 \cdot 2Ni(OH)_2$  (marcat cu \*) in domeniul de temperatura 200-300 °C si (ii) indiferent de dispersie si grad de incarcare cu metal, NP de NiO prezinta o stabilitate termica ridicata la sinterizare in conditii oxidative (pana la 600 °C). Cateva imagini TEM reprezentative pentru probele MO/SBA-15 sunt

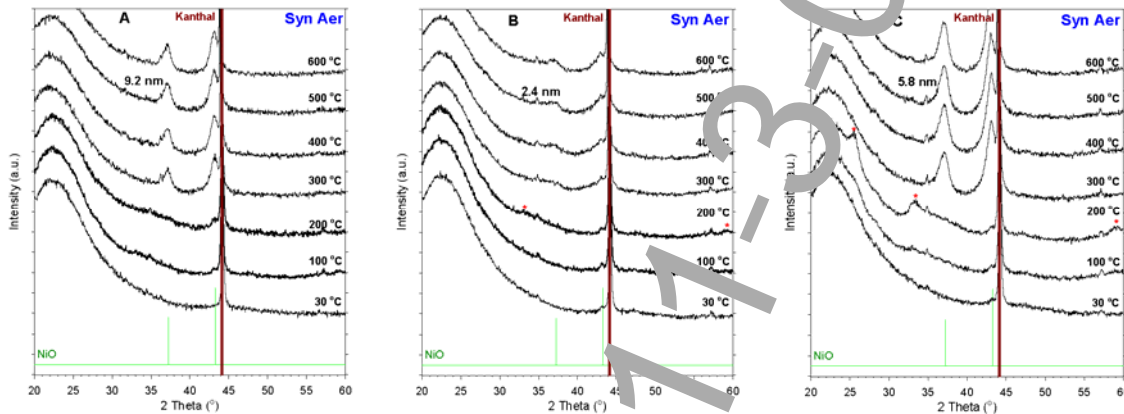


Fig. 2 Difractograme DRX *in situ* pentru (A) 5NiO/SBA-15[100]/25-2, (B) 5NiO/SBA-15[100]/25-150 si (C) 10NiO/SBA-15[100]/25-150

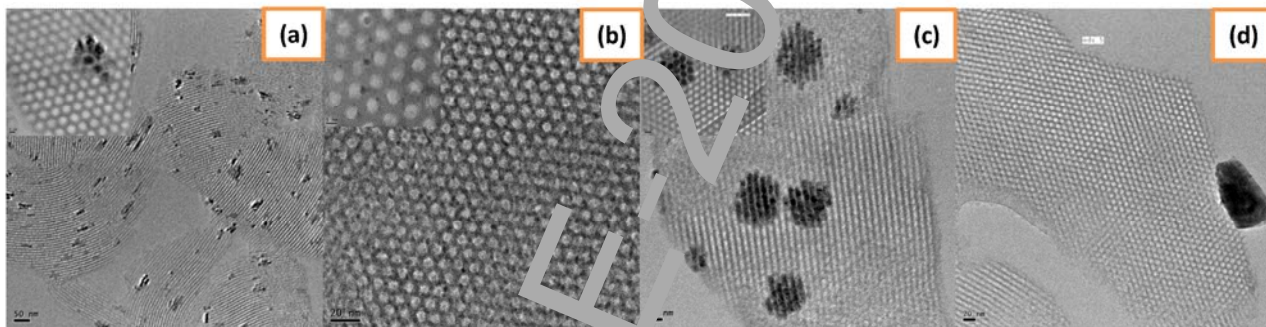
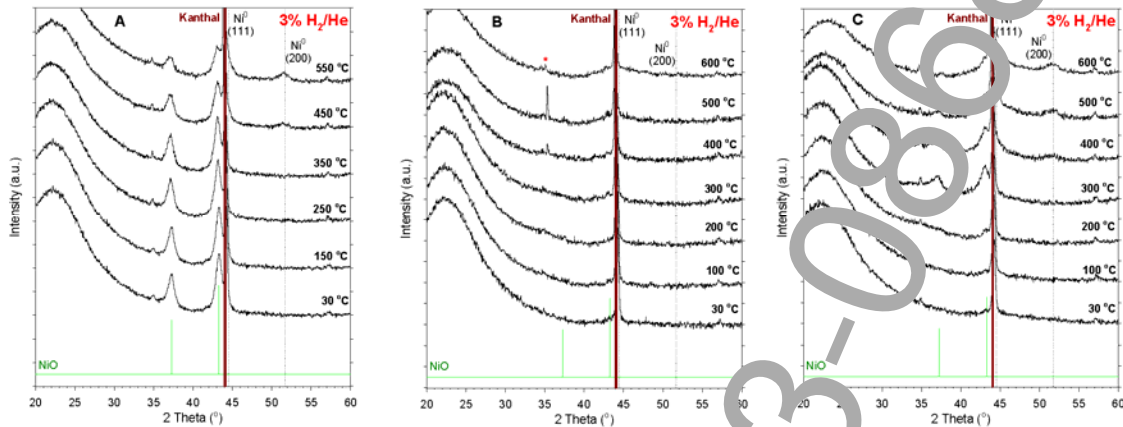


Fig. 3 Imagini TEM pentru (a) 5NiO/SBA-15[100]/25-2, (b) 5NiO/SBA-15[100]/25-150, (c) 5Co<sub>3</sub>O<sub>4</sub>/SBA-15[100]/25-5 si (d) 5CuO/SBA-15[100]/25-2 după calcinare la 500 °C sub aer stagnant

prezentate in Fig. 3: (i) agregate oxidice voluminoase (dimensiuni de 70-100 nm) la suprafata externa a granulelor de SBA-15 au fost observate doar pentru proba cu cupru (imaginea d);<sup>7</sup> (ii) 5NiO/SBA-15[100]/25-2 (imaginea a): NP de NiO apar bine dispersate si uniform distribuite sub forma de particule policristaline cu morfologie *nanorod-like* (diametre de 8-9 nm si lungimi variabile in domeniul 10-50 nm) si care sunt confinante in mezopori (uneori NP ce au cristalizat in 2-3 mezopori adjacenti formeaza mici agregate *nanobundle-like*);<sup>7</sup> (iii) 5Co<sub>3</sub>O<sub>4</sub>/SBA-15[100]/25-5 (imaginea c): 6-7 nanoparticule policristaline de Co<sub>3</sub>O<sub>4</sub> *nanorod-like* se asociaza in agregate *nanobundle-like* care formeaza in granula de suport *patch-uri* specifice cu diametre de 60-100 nm; (iv) 5NiO/SBA-15[100]/25-150 (imaginea b): cristalele de NiO sunt inalt dispersate in mezopori sub forma de NP cu dimensiuni de 2-3 nm.

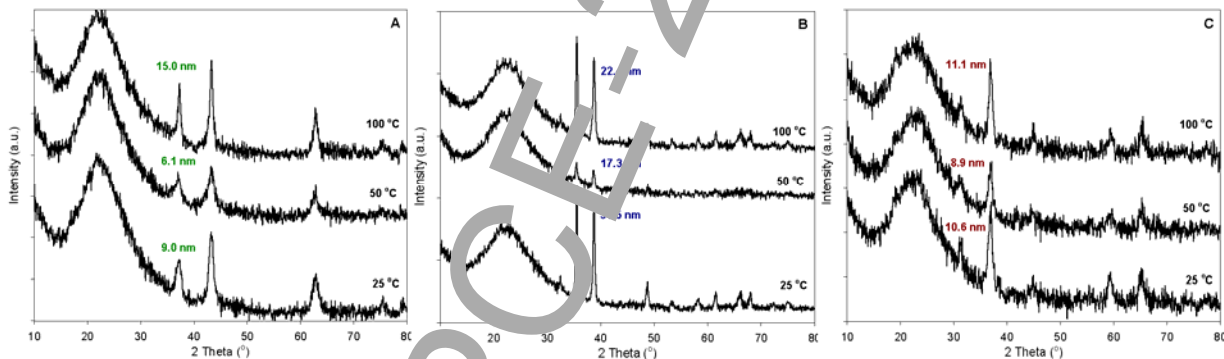
(iii) Rezultate interesante privind dispersia nanoparticulelor metalice de nichel s-au obtinut atunci cand s-a evitat etapa de calcinare (probele uscate au fost supuse direct reducerii). In Fig. 4A si B sunt prezентate comparativ difractogramele DRX *in situ* in flux de H<sub>2</sub>/He pentru proba de Ni (5 wt. %) calcinata si respectiv necalcinata. Se observa ca reducerea directa conduce la NP de Ni<sup>0</sup> nedetectabile prin DRX nici chiar la 600 °C sugerand dimensiuni ale particulelor mai mici de 2 nm, comparativ cu reducerea formei calcinate (prezenta picurilor de difracție ale planelor Ni<sup>0</sup>(200) largi si putin intense dupa reducere la 550 °C). De notat ca proba calcinata prezinta o conductibilitate scăzuta a particulelor de NiO (prezenta picurilor de difracție specifici NiO dupa reducere la 550 °C), in acord cu profilul sau TPR. Fig. 4C demonstreaza ca si la incarcari mari (10 wt.%), reducerea directa conduce la dimensiuni scăzute ale particulelor de Ni metalic (*i.e.*, 2.4 nm). De mentionat ca in cazul materialelor cu Cu, strategia reducerii directe nu a fost eficienta pentru stabilizarea NP, in timp ce in cazul catalizatorilor cu Co, analizele DRX *in situ* au aratat ca reducerea la 750 °C a formei calcinate conduce la rezultate excelente privind dispersia (dimensiuni de ~2.5 nm). Putem astfel clama ca



**Fig. 4** Difractograme DRX *in situ* pentru (A) 5NiO/SBA-15[100]/25-2 calcinat la 500 °C, (B) 5NiO/SBA-15[100]/25-2 necalcinat si (C) 10NiO/SBA-15[100]/25-2 necalcinat

metoda MDI-uscare la 25 °C este extrem de eficienta si versatila pentru obtinerea de NP (oxidice)metalice de Ni si Co inalt dispersate si stabile la sinterizare in conditii oxidante si reductive severe.

(iv) Un alt studiu a fost centrat pe influenta temperaturii de uscare asupra proprietatilor nanoparticulelor metalice. Din Fig. 4 se poate observa ca indiferent de sistem catalitic, temperatura de 50 °C favorizeaza obtinerea de NP avand cele mai reduse dimensiuni ale particulelor, si cand o temperatura ridicata conduce la cele mai scazute dispersii. Interesant,  $d_{\text{NiO}} = 6.1 \text{ nm}$  dupa uscare la 50 °C timp de 5 zile, valoare apropiata de  $d_{\text{NiO}} = 6.8 \text{ nm}$  dupa uscare la 25 °C timp de 60 zile. Se poate astfel presupune ca, cel putin in cazul materialelor pe baza de nichel, efectul pozitiv al cresterii temperaturii de uscare la 50 °C este similar cu cel al cresterii timpului de uscare (*i.e.*, hidroliza avansata a hidroxiazotati metalici si formare de filosilicati cu rol de centre de nucleatie/stabilizare a NP oxidice si evident a celor metalice rezultate prin reducere).

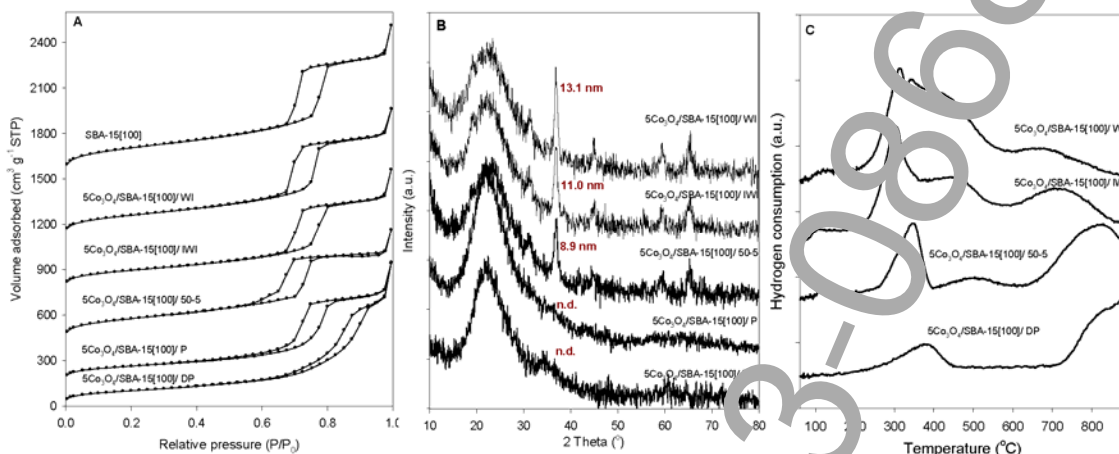


**Fig. 5** Difractograme DRX pentru (A) 5NiO/SBA-15[100]/x-5, (B) 5CuO/SBA-15[100]/x-5 si (C) 5Co<sub>3</sub>O<sub>4</sub>/SBA-15[100]/x-5 calcinate la 500 °C

(vi) Studiul privind efectul compozitiei chimice a suportului SBA-15 asupra dispersiei NP metalice a fost demarat in ultima faza a proiectului. Experimentele realizate la zi au presupus utilizarea in calitate de suporturi catalitice a doua materiale Al-SBA-15 cu continuturi distincte de Al (AS50 si AS5). Rezultatele obtinute pe MO/AS50 au fost in linie cu cele obtinute pe MO/SBA-15, in timp ce rezultatele preliminare obtinute pe MO/AS5 au indicat un efect pozitiv al prezentei aluminiului asupra dispersiei nanoparticulelor oxidice si totodata un efect negativ asupra reductibilitatii acestora, probabil asociat cu formarea in timpul calcinarii a unor faze termostabile si greu reductibile de aluminati metalici.

## 05/ Evaluarea metodei MDI comparativ cu metodele clasice de preparare

Pentru atingerea acestui obiectiv au fost preparate alte 12 probe utilizand suporturi SBA-15[100] (4 probe pentru fiecare metal, 5 wt. %) prin metodele wet impregnation (WI), incipient wetness impregnation (IWI), precipitare (P) si depunere prin precipitatire (DP). Dupa calcinare, materialele obtinute au fost sistematic analizate prin tehnici de mai sus iar rezultatele au fost comparate cu cele obtinute prin MDI. De exemplu, Fig. 6 ilustreaza ca metoda de preparare are o influenta majora asupra proprietatilor texturale, structurale si de reductibilitate ale catalizatorilor pe baza de cobalt. Comparativ cu metodele clasice de impregnare, rezultatele arata ca metoda MDI optimizata conduce la dispersii mai ridicate ale precursorilor metalici datorita confinarii stabilizarii nanoparticulelor de Co<sub>3</sub>O<sub>4</sub> in mezoporii suportului ( $d_{\text{Co}_3\text{O}_4} = 8.9 \text{ nm} \sim D_{\text{pori}}$  =



**Fig. 6** (A) Izoterme de adsorbție/desorbție N<sub>2</sub>, (B) difractograme DRX la u. mari și (C) curbe TPR pentru materialele 5Co<sub>3</sub>O<sub>4</sub>/SBA-15[100]

8.4 nm), în timp ce metodele bazate pe precipitare conduc la dispersii înalte, afectând însă mezoporozitatea suportului datorită condițiilor bazice. Tendințe similare s-au înregistrat și pentru materialele cu Ni și Cu.

#### O4/ Aplicații catalitice ale catalizatorilor metalici în hidrogenare chemoselectivă

Materialele M/SBA-15 dezvoltate în aceasta etapa a proiectului au fost testate în reacția de hidrogenare în fază lichidă a cinamaldehidei la 150 °C și presiune atmosferică. În Tabelul 3 sunt prezentate doar câteva din rezultatele obținute, care ilustrează clar influența unor factori importanți (temperatură, timp de uscare, textură, natura chimică) și necesitatea optimizării metodei MDI, care se dovedește foarte utilă în obținerea unor catalizatori performanți. Astfel, urmărind influența temperaturii se poate observa că activitatea catalitică

**Tabel 3** Performanțele catalitice ale materialelor M/SBA-15 derivate din NiO/SBA-15, Co<sub>3</sub>O<sub>4</sub>/SBA-15 și CuO/SBA-15

Nr.	Proba	Cod proba	Temperatură, min	X <sub>CNO</sub> , moli %	S <sub>CNO</sub> , moli %	S <sub>HCO</sub> , moli %	S <sub>HCHNO</sub> , moli %
1.	NiO/SBA-15 (reducere la 350 °C)	5NiO/SBA-15[100]/ 25-5	150	95	0.7	77.2	22.3
2.		5NiO/SBA-15[100]/ 50-5		100	0.1	90.4	9.5
3.		5NiO/SBA-15[100]/ 100-5		52	1.6	94.6	3.9
4.		5NiO/SBA-15[100]/25-150		95.4	1.2	88.3	10.5
5.		5NiO/SBA-15[100]/ DP		0	-	-	-
6.	Co <sub>3</sub> O <sub>4</sub> /SBA-15 (reducere la 500 °C)	5Co <sub>3</sub> O <sub>4</sub> /SBA-15[100]/ 25-5	1440	55.4	53.0	16.3	30.7
7.		5Co <sub>3</sub> O <sub>4</sub> /SBA-15[100]/ 50-5		76.6	48.9	13.8	37.3
8.		5Co <sub>3</sub> O <sub>4</sub> /SBA-15[100]/ 100-5		64.4	43.6	18.0	38.4
9.		5Co <sub>3</sub> O <sub>4</sub> /SBA-15[100]/ 100-P		92.1	6.4	40.0	53.6
10.		5CuO/SBA-15[100]/ 25-5		2.0	37.6	23.6	38.8
11.	CuO/SBA-15 (reducere la 350 °C)	5CuO/SBA-15[100]/ 50-5	360	24.1	41.6	45.7	12.7
12.		5CuO/SBA-15[100]/ 100-5		2.4	23.7	20.1	56.2
13.		5CuO/SBA-15[100]/ DP		43.2	38.7	44.6	16.8

ca maximă se obține pentru probele uscate la 300 °C, indiferent de natura chimică a metalului activ. Tinând cont de rezultatele caracterizărilor fizico-chimice, asta comportare este asociată dimensiunilor mai mici ale cristalitelor de fază activă și cu dispersia mai ridicată. În cazul materialelor pe baza de nichel, se observă că se obțin rezultate asemănătoare cand uscarea este condusă la 25 °C, dar pentru perioade foarte lungi (150 zile), care favorizează obținerea de NP oxidice de dimensiuni foarte reduse ( $d_{NiO} = 2.4$  nm și 5.8 nm, pentru 5 respectiv 10 wt.%). Cele mai interesante rezultate în seria materialelor obținute prin MDI s-au obținut pentru proba Co<sub>3</sub>O<sub>4</sub>/SBA-15 uscată la 50 °C (conversie de 76.6 % și selectivitate la CNO<sub>2</sub> de 48.9 %). Atunci cand probele obținute prin MDI au fost comparate cu cele preparate prin metodele clasice s-a constatat în general că: (i) metoda MDI conduce la catalizatori mult mai activi decât cei obținuti prin WI și IWI; (ii) metoda MDI conduce la catalizatori cu selectivitatea mai ridicată la alcoolul nesaturat decât metodele prin precipitare (catalizatori cu cobalt) sau cu selectivitati similare (catalizatori cu cupru).

**Rezultatele originale ale studierilor au constituit subiectul a 6 comunicări la manifestări științifice internaționale, 1 articol ISI publicat<sup>2</sup> și 1 articol ISI cîtat în evaluare<sup>7</sup> (vezi Anexa la raport).**

#### Referințe

- Galarneau, A.; Cambon, H.; Renzo, F. Di; Ryoo, R.; Choi, M.; Fajula, F. *New J. Chem.* **2003**, 27, 73 - 79.
- Ungureanu, A.; Dragoi, B.; Hulea, I.; Cacciaguerra, T.; Meloni, D.; Solinas, V.; Dumitriu, E. *Microporous Mesoporous Mater.* **2012**, 163, 51 - 64.
- Sun, X.; Shi, Y.; Zhang, Y.; Zheng, C.; Zheng, X.; Zhang, F.; Zhang, Y.; Guan, N.; Zhao, D.; Stucky, G.D. *J. Am. Chem. Soc.* **2011**, 133, 14542 - 14545.
- Ungureanu, A.; Dragoi, B.; Chiriac, A.; Royer, S.; Duprez, D.; Dumitriu, E. *J. Mater. Chem.* **2011**, 21, 12529 - 12541.
- Wolters, M.; van Grotel, L. J. W.; den Enghuisen, T. M.; Sietsma, J.R.A.; de Jong, K.P.; de Jongh, P.E. *Cat. Today*, **2011**, 163, 27 - 32.
- Louis, C.; Cheng, Z. Y.; Liu, M. *J. Phys. Chem.* **1993**, 97, 5703-5712.
- Ungureanu, A.; Dragoi, B.; Chiriac, A.; Ciotea, C.; Royer, S.; Duprez, D.; Mamede, A.S.; Dumitriu, E. *ACS Appl. Mater. Interfaces*, trimis